

第五章 刚体的转动

(Rotation of Rigid Body)

陀螺仪

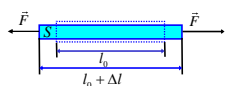
本章目录

- § 5.1 刚体的运动
- § 5.2 刚体定轴转动
- § 5.3 刚体定轴转动定律
- § 5.4 转动惯量的计算
- § 5.5 刚体定轴转动的功能原理
- § 5.6 刚体定轴转动的角动量守恒定律
- § 5.7 刚体的平面运动
- § 5.8 进动

2

§ 5.1 刚体的运动

一. 刚体 (rigid body) 的概念

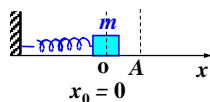


$$\frac{F}{S} = E \frac{\Delta l}{l_0} \quad E\text{-杨氏弹性模量}$$

$$E \rightarrow \infty \quad \Delta l \rightarrow 0$$

我们把这种不能变形的物体称为刚体

$$F = \frac{ES}{l_0} \Delta l = k \Delta l$$

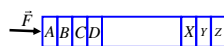


$$F = -kx$$

$$k \rightarrow \infty \quad x \rightarrow 0$$

3

弹性力的传播过程



$$\text{弹性纵波 } u_l = \sqrt{\frac{E}{\rho}}, \sim 3000 \text{ m/s}$$

弹性波的传播速度远大于物体运动速度时，
弹性扰动是瞬时的，可把物体当刚体处理

刚体-对实际物体的抽象模型

4

二. 刚体的基本运动形式

1. 平动 (translation)

2. 转动 (rotation)

- ▲ 定点转动
- ▲ 定轴转动

5

1、平动 (translation)

刚体内任意两点的连线在运动中始终保持平行。



刚体上任一点的运动来代表整体的运动

基点 质心

6

2、转动 (rotation)

▲ 定轴转动

各质元均做圆周运动,且各圆心都在转轴上

▲ 定点转动

整个刚体绕过该定点的某一瞬时轴线转动。

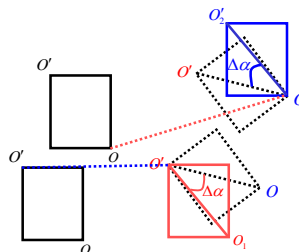


7

3、一般运动

可分解为

平动+定点转动



8

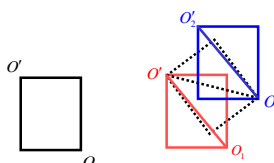
基点选取不同

平动可以不同

转动却相同

转动与基点的选取无关

常选质心为基点



9

§ 5.2 刚体定轴转动 (运动学)

刚体位置随时间的变化

角位移

线速度

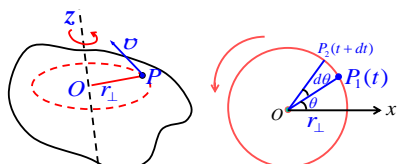
角速度

线加速度

角加速度

10

1、定轴转动运动学



定轴

角位移

角速度

角加速度

$$d\theta$$

$$\omega = \frac{d\theta}{dt}$$

$$\alpha = \frac{d\omega}{dt} = \frac{d^2\theta}{dt^2}$$

11

定轴转动 (角度)

一维直线运动 (线度)

$$\omega = \frac{d\theta}{dt}$$

$$v = \frac{ds}{dt}$$

$$\alpha = \frac{d\omega}{dt} = \frac{d^2\theta}{dt^2}$$

$$a = \frac{dv}{dt} = \frac{d^2s}{dt^2}$$

若 $\alpha = \text{const.}$

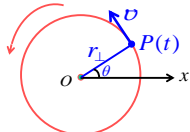
若 $a = \text{const.}$

$$\begin{cases} \omega = \omega_0 + \alpha t \\ (\theta - \theta_0) = \omega_0 t + \frac{1}{2} \alpha t^2 \\ \omega^2 - \omega_0^2 = 2\alpha(\theta - \theta_0) \end{cases}$$

$$\begin{cases} v = v_0 + a t \\ (s - s_0) = v_0 t + \frac{1}{2} a t^2 \\ v^2 - v_0^2 = 2a(s - s_0) \end{cases}$$

12

线量和角度量



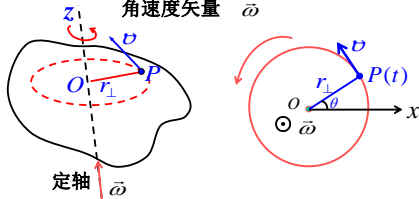
线速度大小 $\mathbf{v} = \mathbf{r}_\perp \omega$

切向加速度 $\mathbf{a}_t = \frac{d\mathbf{v}}{dt} = \mathbf{r}_\perp \frac{d\omega}{dt} = \mathbf{r}_\perp \alpha$

法向加速度 $\mathbf{a}_n = \frac{v^2}{r_\perp} = \mathbf{r}_\perp \omega^2$

13

角速度矢量 $\vec{\omega}$



引入角速度矢量 $\vec{\omega}$

大小: $|\vec{\omega}| = \omega = \frac{d\theta}{dt}$ 方向: 右手螺旋法则

14

角速度 $\vec{\omega}$

角加速度 $\vec{\alpha} = \frac{d\vec{\omega}}{dt}$

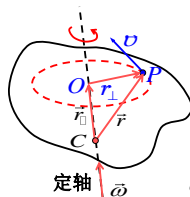
线速度 $\vec{v} = \vec{\omega} \times \vec{r}_\perp$

线加速度 $\vec{a} = \frac{d\vec{v}}{dt} = \frac{d\vec{\omega}}{dt} \times \vec{r}_\perp + \vec{\omega} \times \frac{d\vec{r}_\perp}{dt}$

$= \vec{\alpha} \times \vec{r}_\perp + \vec{\omega} \times \vec{v}$
旋转加速度 向轴加速度

对于定轴转动 $\omega \alpha$ 退化为代数量 $\omega \alpha$

15



线加速度

$\vec{v} = \vec{\omega} \times \vec{r}_\perp = \vec{\omega} \times \vec{r}$

$\vec{\omega} \times \vec{r} = \vec{\omega} \times (\vec{r}_\perp + \vec{r}_\parallel)$

$\vec{v} = \vec{\omega} \times \vec{r}$

$\vec{a} = \frac{d\vec{v}}{dt} = \frac{d\vec{\omega}}{dt} \times \vec{r} + \vec{\omega} \times \frac{d\vec{r}}{dt}$

$= \vec{\alpha} \times \vec{r} + \vec{\omega} \times \vec{v}$

旋转加速度 向轴加速度

16

2、定点转动

线速度 $\vec{v} = \vec{\omega} \times \vec{r}$

线加速度 $\vec{a} = \frac{d\vec{v}}{dt}$

$= \frac{d\vec{\omega}}{dt} \times \vec{r} + \vec{\omega} \times \frac{d\vec{r}}{dt}$

$= \vec{\alpha} \times \vec{r} + \vec{\omega} \times \vec{v}$

瞬时轴 $\vec{\omega}$

$|\vec{\omega}| = \omega = \frac{d\theta}{dt}$

$\vec{\alpha} = \frac{d\vec{\omega}}{dt}$ (不一定平行于角速度)

17

§ 5.3 刚体的定轴转动定律

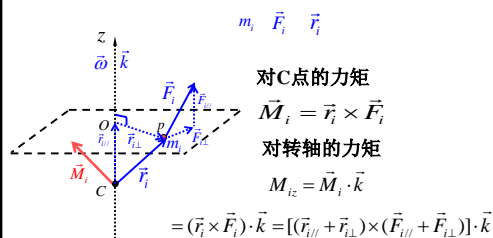
回顾: 质点系的角动量定理

对固定点 $\vec{M}_{\text{外}} = \frac{d\vec{L}}{dt}$

$M_{\text{外}z} = \frac{dL_z}{dt}$ 对转动轴

18

1、力对轴的力矩



19

$$M_{ic} = \vec{M}_i \cdot \vec{k}$$

$$\begin{aligned} &= (\vec{r}_i \times \vec{F}_i) \cdot \vec{k} = [(\vec{r}_{i//} + \vec{r}_{i\perp}) \times (\vec{F}_{i//} + \vec{F}_{i\perp})] \cdot \vec{k} \\ &= \vec{r}_{i\perp} \times \vec{F}_{i\perp} \cdot \vec{k} + \vec{r}_{i//} \times \vec{F}_{i\perp} \cdot \vec{k} + \vec{r}_{i\perp} \times \vec{F}_{i//} \cdot \vec{k} + \vec{r}_{i//} \times \vec{F}_{i//} \cdot \vec{k} \\ &= \vec{r}_{i\perp} \times \vec{F}_{i\perp} \cdot \vec{k} \end{aligned}$$

$$|M_{ic}| = |\vec{r}_{i\perp} \times \vec{F}_{i\perp}| = r_{i\perp} F_{i\perp} \sin \alpha'$$

α' 是 $\vec{r}_{i\perp}$ 和 $\vec{F}_{i\perp}$ 之间的夹角

考虑 M_{ic} 的正负, 从此约定 $M_{ic} = r_{i\perp} F_{i\perp} \sin \alpha$

若 $M_{ic} > 0$ 则 $\alpha = \alpha'$ 若 $M_{ic} < 0$ 则 $\alpha = -\alpha'$

20

质心轴: 通过刚体质心的直线

刚体(不太大)重力对质心轴的合力矩等于零

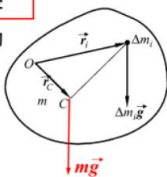
证明: 刚体各个质元所受重力对任意一点 O 的合力矩:

$$\begin{aligned} \vec{M}_O &= \sum_i \vec{r}_i \times \Delta m_i \vec{g} = \left(\sum_i \Delta m_i \vec{r}_i \right) \times \vec{g} \\ \vec{r}_C &= \sum_i m_i \vec{r}_i / m \end{aligned}$$

$$\vec{M}_O = \vec{r}_C \times m \vec{g}$$

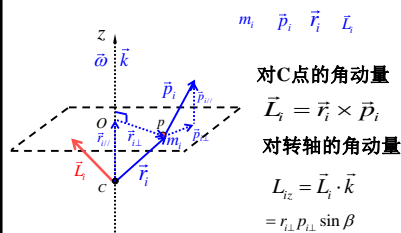
刚体(不太大)各个质元所受重力对 O 点的合力矩, 等于整个刚体的重力作用于质心所产生的力矩。

如果 O 为质心, $\vec{r}_C = 0$, $\vec{M}_O = 0$, 即证。



21

2、质点对轴的角动量



22

3、刚体的定轴转动定理

质点系的角动量定理

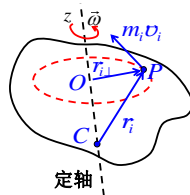
$$(\text{对C点}) \quad \vec{M}_{\text{外}} = \frac{d\vec{L}}{dt}$$

$$(\text{对z轴}) \quad M_{\text{外}z} = \frac{dL_z}{dt}$$

$$\vec{M}_{\text{外}z} = \sum_i \vec{M}_{i\text{外}z}$$

$$L_z = \sum_i L_{iz}$$

定轴转动角动量表达式



$$\begin{aligned} L_z &= \sum L_{iz} \\ &= \sum r_{i\perp} p_{i\perp} \sin \beta \\ &= \sum r_{i\perp} p_{i\perp} \end{aligned}$$

$$\begin{aligned} L_z &= \sum m_i r_{i\perp} v_i = \sum m_i r_{i\perp}^2 \omega \\ &= (\sum m_i r_{i\perp}^2) \omega = J_z \omega \end{aligned}$$

$$J_z = \sum m_i r_{i\perp}^2 \quad \text{对Z轴的转动惯量(moment of inertia)}$$

J 由质量对轴的分布决定, 与转动状态无关。

23

24

定轴转动定律

定轴转动角动量 $L_z = J_z \omega$

质点系的角动量定理（对Z轴）

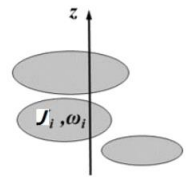
$$M_z = \frac{dL_z}{dt} = \frac{d}{dt}(J_z \omega) = J_z \frac{d\omega}{dt} = J_z \alpha$$

$$M_z = J_z \alpha \quad \text{定轴转动定律}$$

常省略小标，写为 $M = J \alpha$

25

绕公共定轴转动的刚体组



刚体组中各刚体间的合内力矩等于零。

刚体组绕某一固定轴的总角动量 L_z 的变化，只决定于刚体组所受对该轴的合外力矩 M_z

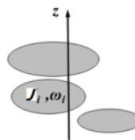
$$M_z = \frac{dL_z}{dt}$$

26

绕公共定轴转动的刚体组

如果对惯性系中某一定轴的合外力矩为零，则刚体组绕该轴的总角动量保持不变

$$L_z = \sum_i J_i \omega_i = \text{常量}$$



27

与牛顿第二定律相比

牛顿第二定律 $\vec{F} = m\vec{a}$

定轴转动定律 $M = J\alpha$

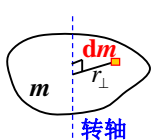
$F \leftrightarrow M$ 状态变化的原因

$m \leftrightarrow J$ 惯性大小的量度

$\vec{a} \leftrightarrow \vec{\alpha}$ 状态的变化

28

§ 5.4 转动惯量的计算



分散系统

$$J = \sum m_i r_{i\perp}^2$$

连续体

$$J = \int_m r_{\perp}^2 \cdot dm$$

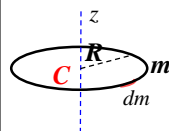
J 由质量对轴的分布决定，与转动状态无关。

29

一. 常见刚体的转动惯量的计算

1、细圆环

$$J_c = mR^2$$



$$J = \int_m r_{\perp}^2 dm$$

30

2、均匀圆盘

$$J_C = \frac{1}{2} m R^2$$



$$J_C = \int_0^R r^2 dm = \int_0^R 2\pi r dr \frac{m}{\pi R^2} r^2 = \frac{1}{2} m R^2$$

31

3、均匀细杆 m, l

对A轴的转动惯量

$$J_A = \frac{1}{3} m l^2$$

$$J_A = \int_0^l r^2 dm = \int_0^l r^2 \frac{m}{l} dr = \frac{1}{3} m l^2$$

对过质心C轴的转动惯量

$$J_C = \frac{1}{12} m l^2$$

32

【例】推导质量为 m ，半径为 R 的匀质薄球壳绕过直径的轴的转动惯量公式：

$$J = \frac{2}{3} m R^2$$

解 沿水平方向把球壳分割成许多圆环，其面积为球台的侧面积，质量为

$$dm = 2\pi R \cos \theta R d\theta \sigma = \frac{1}{2} m \cos \theta d\theta$$

$\sigma = m/(4\pi R^2)$ 为球壳质量面密度。

圆环绕过直径的轴的转动惯量为

$$dJ = (R \cos \theta)^2 dm = \frac{1}{2} m R^2 \cos^3 \theta d\theta$$

积分，积分限从 $\theta = -\pi/2$ 到 $\theta = \pi/2$ ，得

$$J = \int dJ = \frac{1}{2} m R^2 \int_{-\pi/2}^{\pi/2} \cos^3 \theta d\theta = \frac{2}{3} m R^2$$

33

一些均匀刚体的转动惯量

细棒绕中心轴		$\frac{1}{12} m l^2$
细棒绕一端轴		$\frac{1}{3} m l^2$
薄圆环(筒)绕中心轴		$m R^2$
圆盘(柱)绕中心轴		$\frac{1}{2} m R^2$
薄球壳绕中心轴		$\frac{2}{3} m R^2$
球体绕中心轴		$\frac{2}{5} m R^2$

34

二、计算转动惯量的几条规律

1、对同一轴 J 具有可叠加性

$$J = \sum J_i$$

分散系统 $J = \sum m_i r_{i\perp}^2$

连续体 $J = \int r_{\perp}^2 \cdot dm$

35

2、平行轴定理

$$J = J_C + m d^2$$

$\therefore J_C = J_{\min}$

平行

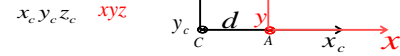
对细棒绕中心轴 $J_C = \frac{1}{12} m l^2$

对细棒绕一端轴 $J_A = \frac{1}{3} m l^2$

36

平行轴定理证明

建立直角坐标系



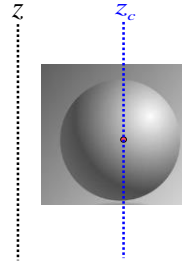
$$J = \sum_i m_i (y_i^2 + x_i^2) = \sum_i m_i (y_{ic}^2 + (x_{ic} - d)^2)$$

$$= \sum_i m_i y_{ic}^2 + \sum_i m_i x_{ic}^2 + \sum_i m_i d^2 - 2 \sum_i m_i x_{ic} d$$

$$\frac{\sum_i m_i x_{ic}}{m} = 0 \quad \boxed{J = J_c + md^2}$$

37

平行轴定理应用

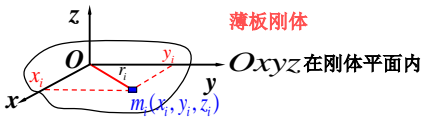


求相对于球外任一轴的转动惯量

$$J_c = \frac{2}{5} mR^2$$

38

3、对薄平板刚体的正交轴定理



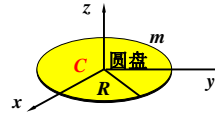
$$J_z = \sum m_i r_i^2 = \sum m_i x_i^2 + \sum m_i y_i^2$$

$$J_x = \sum m_i z_i^2 + \sum m_i y_i^2 \quad J_y = \sum m_i z_i^2 + \sum m_i x_i^2$$

即 $\boxed{J_z = J_x + J_y}$

39

[例] 求对薄圆盘的一条直径的转动惯量，



解： 已知圆盘 $J_z = \frac{1}{2} mR^2$ 。

$$J_x + J_y = J_z = \frac{1}{2} mR^2$$

$$\therefore J_x = J_y = \frac{1}{4} mR^2$$

40

转动定律应用举例

[例1] 已知： $R = 0.2\text{m}$, $m = 1\text{kg}$, $v_0 = 0$, $h = 1.5\text{m}$, 绳轮间无相对滑动，下落时间 $t = 3\text{s}$ 。

求：轮对 O 轴 $J = ?$

解：动力学关系：

对轮： $T \cdot R = J \cdot \alpha$ (1)

对 m ： $mg - T = ma$ (2)

运动学关系： $a = \alpha \cdot R$ (3)

$$h = \frac{1}{2} at^2$$
 (4)

41

(1)~(4)联立解得： $J = \left(\frac{gt^2}{2h} - 1 \right) mR^2$

分析结果：

- 量纲对；
- h 、 m 一定， $J \uparrow \rightarrow t \uparrow$ ，合理；
- 若 $J = 0$ ，得 $h = \frac{1}{2} gt^2$ ，正确。

代入数据：

$$J = \left(\frac{9.8 \times 3^2}{2 \times 1.5} - 1 \right) \times 1 \times 0.2^2 = 1.14 \text{kg} \cdot \text{m}^2$$

此为一种用实验测转动惯量的方法。

42

[例2] 如图，定滑轮看作匀质圆盘，轴光滑，无相对滑动，桌面水平光滑。已知 m_1, m_2, m_3, R 。求：两侧绳拉力。

解： 各物受力如图

对 m_1, m_2 ，由牛顿定律

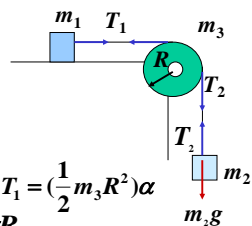
$$T_1 = m_1 a_1$$

$$m_2 g - T_2 = m_2 a_2$$

对 m_3 ，由转动定理 $RT_2 - RT_1 = (\frac{1}{2} m_3 R^2) \alpha$

无相对滑动 $a_1 = a_2 = \alpha R$

$$\text{解得 } T_1 = \frac{m_1 m_2 g}{m_1 + m_2 + m_3 / 2} \quad T_2 = \frac{m_1 (m_2 + m_3 / 2) g}{m_1 + m_2 + m_3 / 2}$$



§ 5.5 刚体定轴转动的角动量守恒定律

一、角动量定理

质点系

对点

对轴

刚体

$$\vec{M}_{\text{外}} = \frac{d\vec{L}}{dt}$$

$$M_{\text{外}z} = \frac{dL_z}{dt}$$

$$L_z = J_z \omega$$

$$M_z = \frac{d(J_z \omega)}{dt}$$

刚体的角动量定理

44

二、刚体定轴转动的角动量守恒定律

$$M_z = \frac{d(J_z \omega)}{dt}$$

$$M_{\text{外}z} = 0 \Rightarrow J_z \omega = \text{const.} \quad \begin{cases} \text{大小不变} \\ \text{正、负不变} \end{cases}$$

如果 J_z 保持不变 ω 将保持不变

角动量守恒实例—陀螺仪定向



45

陀螺仪



傅科

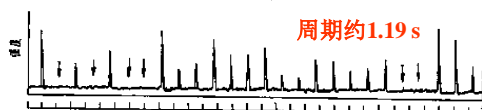
1819-1868



▲ 脉冲星的角动量守恒

1967年10月 剑桥大学卡文迪许实验室 Antony Hewish 教授的研究生——Jocelyn Bell 发现

Little Green Man 1974年 Nobel Prize



脉冲星的精确周期性信号

$$J_z \omega = \text{const.}$$

47

星体不被惯性离心力甩散，必须满足条件：

$$\frac{GMm}{R^2} > mR\omega^2, \quad (M = \frac{4\pi}{3} R^3 \rho)$$

$$\Rightarrow \rho > \frac{3\omega^2}{4\pi G} = \frac{3\pi}{GT^2} \sim 10^{11} \text{ kg/m}^3$$

Fe $7.8 \times 10^3 \text{ kg/m}^3$

恒星 \rightarrow 红巨星 \rightarrow 白矮星
 \rightarrow 中子星 \rightarrow 黑洞

脉冲星是高速旋转的中子星。

48

三、角动量定理的另一形式

对点 $\vec{M}_{\text{外}} = \frac{d\vec{L}}{dt} \quad \vec{M}_{\text{外}} dt = d\vec{L}$

$$\int_{t_1}^{t_2} \vec{M}_{\text{外}} dt = \vec{L}_2 - \vec{L}_1$$

冲量矩 $\int_{t_1}^{t_2} \vec{M}_{\text{外}} dt$ 力矩对时间的积累效应

刚体定轴转动 $M_z = \frac{d(J_z \omega)}{dt}$

$$\int_{t_1}^{t_2} M_{\text{外}z} dt = J_z \omega_2 - J_z \omega_1$$

——刚体定轴转动的角动量定理

49

克服直升飞机机身反转的措施：



装置尾桨推动大气产生克服机身反转的力矩



装置反向转动的双旋翼产生反向角动量而相互抵消

50

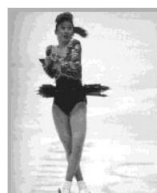


走钢丝的人为什么要拿长竿？

51

当变形体所受合外力矩为零时，变形体的角动量也守恒。

$$J(t)\omega = \text{常量} \Rightarrow J(t) \nearrow \omega \searrow \quad J(t) \searrow \omega \nearrow$$



花样滑冰



芭蕾舞演员

52



金妍儿在比赛中 (图片来源：视频截图)

53



运动员的跳水运动

54



滑冰运动员的旋转



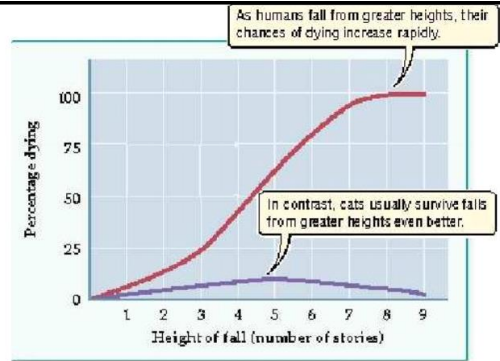
猫的下落 (A)



猫的下落 (B)

TV 角动量守恒定律 角动量守恒

55



猫猫与人跳楼的不同结果

56

30多年前，曼哈顿的两个兽医Wayne Whitney和Cheryl Mehlhaff看到好多猫从摩天大楼上落下，于是研究了“猫科动物的高楼综合征”(feline high-rise syndrome),他们发现从五楼落下的猫猫最危险。

猫猫落体实验的意义，远远超越了经典物理学。因为，他们用自己的身体践行了规范场动力学。猫猫在空中能很好调整身体的姿态，这样就能保证以安全的方式落地——这个身体调整的过程，满足角动量守恒。身体姿态的改变，相当于转动惯量和转动速度的调节，可以用两个参数来描写。最终的角度改变，可以表述为一个曲线积分，而这个积分在形式上完全等同于Aharonov-Bohm效应里的相移！

后来人们还发现，高空坠落的猫猫为了活下来，还要解决在Yang-Mills场里的运动方程呢！

http://www.sciencenet.cn/blog/user_content.aspx?id=257054



57

[例1] 转盘上站立一人，沿盘边缘行走一圈。

求：转盘转过的角度。

解：人+转盘， L_z 守恒：

$$mR^2\omega + \frac{1}{2}MR^2\Omega = 0$$

相对运动： $\omega = \omega' + \Omega$

$$\text{解得 } \Omega = \frac{-mR^2}{mR^2 + \frac{1}{2}MR^2} \omega'$$

$$\Delta\theta = \int_0^t \Omega dt = -\frac{2m}{2m+M} \int_0^t \omega' dt = -\frac{2m}{2m+M} 2\pi$$

58

【例2】 一轻绳绕在半径 $r=20\text{ cm}$ 的飞轮边缘，在绳端施以 $F=98\text{ N}$ 的拉力，飞轮的转动惯量 $J=0.5\text{ kg}\cdot\text{m}^2$ ，飞轮与转轴间的摩擦不计，(见图)

求 (1) 飞轮的角加速度，

(2) 如以重量 $P=98\text{ N}$ 的物体挂在绳端，试计算飞轮的角加速。

$$\text{解 (1) } Fr = J\beta \quad \beta = \frac{Fr}{J} = \frac{98 \times 0.2}{0.5} = 39.2 \text{ rad/s}^2$$

$$\left. \begin{array}{l} mg - T = ma \\ Tr = J\beta \\ a = r\beta \end{array} \right\} \beta = \frac{mgr}{J + mr^2} = \frac{98 \times 0.2}{0.5 + 10 \times 0.2^2} = 21.8 \text{ rad/s}^2$$

两者区别

59

【例题3】 一质量为 m 的子弹以水平速度射入一静止悬于顶端长棒的下端，穿出后速度损失 $3/4$ ，求子弹穿出后棒的角速度 ω

解：棒对子弹的阻力为 f

对子弹 $\int f dt = m(v - v_0) = -\frac{3}{4}mv_0$

子弹对棒的反作用力 f' 对棒的冲量矩

$$\int f' l dt = l \int f' dt = -l \int f dt = \frac{3}{4}lmv_0 = J\omega$$

$$\omega = \frac{3}{4l}lmv_0 = \frac{9mv_0}{4Ml}$$

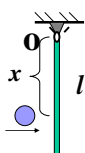
角动量守恒定律？(Y)

60

【例题4】

右图中，
分析碰撞前后瞬间的守恒量

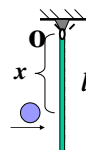
球与匀质
杆的碰撞



61

答：能量是否守恒取决于碰撞性质；
对O点的力矩为零，故系统对O点**角动量守恒**；
一般碰撞中轴对杆有横向力，外力不为零，
故动量不守恒。

球与匀质
杆的碰撞



62

动量一定不守恒吗？

$x = ?$ 动量也能守恒？

解：若x为某确定值，可使轴承处无水平力，
即使动量也守恒，

解法一：隔离用动量定理+角动量定理

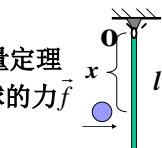
对象：杆。设无水平轴力，有球的力 \vec{f}

动量定理（水平）： $\vec{f}\Delta t = m\vec{v}_{mc}$

角动量定理： $x\vec{f}\Delta t = \frac{1}{3}ml^2\omega$

运动学： $v_{mc} = \frac{l}{2}\omega$

这个位置称为撞击中心



结果与杆的
质量无关。

63

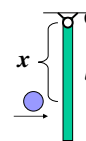
解法二：对球+杆，两个守恒

$$xm_q v_0 = xm_q v + \frac{1}{3}ml^2\omega,$$

$$m_q v_0 = m_q v + mv_{mc}$$

$$\therefore v_{mc} = \frac{l}{2}\omega$$

$$\text{联立同样可解得 } x = \frac{2}{3}l$$



64

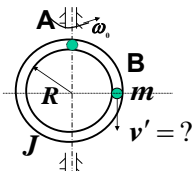
【例题5】如图，内壁光滑的环状细管绕竖直轴旋转，管是刚性的，转动惯量为J，环的半径为R，无动力，轴光滑。初始：管内球在A，静止；各已知量如图标示。

求：球到水平位置B时，球的相对环的速度

解：地面参考系，对球+圆环，

$M_z = 0$ ， L_z 守恒；

各处光滑，E守恒。



65

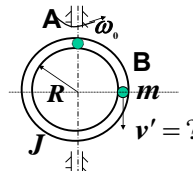
$$\frac{1}{2}J\omega_0^2 + mgR = \frac{1}{2}J\omega^2 + \frac{1}{2}mv^2,$$

$$J\omega_0 = J\omega + Rm(R\omega)$$

$$\rightarrow \omega = \frac{J\omega_0}{J + mR^2}$$

相对运动： $v^2 = v'^2 + \omega^2 R^2$

$$\text{解得 } v'^2 = \frac{J\omega_0^2 R^2}{J + mR^2} + 2gR$$



讨论：

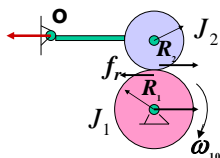
$$v'^2 > 2gR$$

合理吗？

66

【例题6】轮1无驱动力，有初始角速度 ω_{10} 。各轴承光滑，轮2初静止，放平后，恰与轮1接触，设两轮的质量及转动惯量已知；杆质量不计。

求：稳定后各自的角速度



67

已知 $m_1, J_1, \omega_{10}, m_2, J_2, \omega_{20}=0$;
各轴承光滑，无驱动力。

求：稳定后各自的角速度

有人解：对两轮系统用
角动量守恒，有：

$$\left. \begin{aligned} J_1 \omega_1 + J_2 \omega_2 &= J_1 \omega_{10} \\ \text{稳定: } \omega_1 R_1 &= \omega_2 R_2 \end{aligned} \right\} \omega_1 = \frac{J_1 R_2 \omega_{10}}{J_1 R_2 + J_2 R_1}, \dots$$

答：不对。守恒否应当对同一轴讨论！

无论对 O_1, O_2 之一，外力矩不为零（见图）

系统角动量不守恒！

判断
正误

68

正确解法：隔离；分别用角动量定理

对轮2：

$$R_2 f \Delta t = J_2 \omega_2$$

对轮1：

$$-R_1 f \Delta t = J_1 \omega_1 - J_1 \omega_{10}$$

$$\longrightarrow \frac{J_1 \omega_1}{R_1} + \frac{J_2 \omega_2}{R_2} = \frac{J_1 \omega_{10}}{R_1}$$

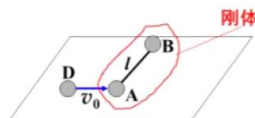
稳定： $\omega_1 R_1 = \omega_2 R_2$

$$\text{联立可解结果 } \omega_1 = \frac{J_1 R_2^2}{J_1 R_2^2 + J_2 R_1^2} \omega_{10}$$

69

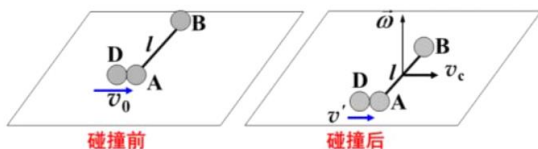
【例】一长度为 l 的轻质细杆，两端各固定一个小球 A 和 B，平放在光滑水平面上，开始时静止。现另一小球 D 以垂直于杆身的初速度 v_0 与杆端的 A 球作弹性碰撞。设三球质量同为 m 。

求：碰后 (A+B) 和球 D 的运动



70

解



碰撞前
D球速度： v_0
刚体AB静止

碰撞后
D球速度： v'
刚体AB质心速度： v_c
转动角速度： ω
取竖直向上为转轴正方向

71

刚体组：D + 刚体AB

(1) 水平无外力，动量守恒：

$$mv_0 = mv' + 2mv_c$$

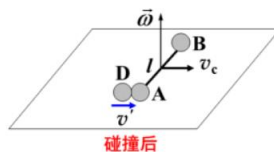
$$v_0 - v' = 2v_c \dots \dots \textcircled{1}$$

(2) 弹性碰撞，机械能守恒(动能不变)

$$\frac{1}{2}mv_0^2 = \frac{1}{2}mv'^2 + \frac{1}{2}J_C \omega^2 + \frac{1}{2}(2m)v_c^2$$

$$J_C = \frac{1}{2}ml^2$$

$$v_0^2 - v'^2 = 2v_c^2 + \frac{1}{2}l^2 \omega^2 \dots \dots \textcircled{2}$$



碰撞后

72

3) 对过任一固定点的垂直轴, 角动量守恒

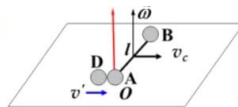
选碰撞前A球的空间位置作为定点(O点), 关于过O点轴列角动量守恒

碰撞前: 系统角动量为零

碰撞后: D球角动量为零, 刚体AB角动量为

$$L_{AB} = J_C \omega - 2m \times \frac{l}{2} v_C = \frac{1}{2} ml^2 \omega - mlv_C$$

$$ml \left(\frac{l}{2} \omega - v_C \right) = 0 \rightarrow v_C = \frac{l}{2} \omega \dots \quad (3)$$



73

(4) ①②③式联立解出

$$v' = 0, \quad v_C = \frac{v_0}{2}, \quad \omega = \frac{v_0}{l}$$

碰撞后: D球静止, 刚体AB平动+转动。

如果小球D以垂直于杆身的初速度 v_0 , 与杆端的A球碰撞后粘在一起共同运动, 结果为

$$v_C = \frac{v_0}{3}, \quad \omega = \frac{v_0}{2l}$$

74

刚体的平衡

刚体的平衡是指刚体相对惯性系静止或作匀速直线运动(平动)

按动量和角动量变化定理, 刚体达到平衡的充要条件是: 外力矢量和等于零, 对任一轴的力矩矢量和等于零

$$\sum F_{\text{外}} = 0 \quad (\text{平动平衡条件})$$

$$\sum M_z = 0 \quad (\text{转动平衡条件})$$

75

【例】一梯子立在墙角上, 墙面光滑, 设梯子下端与地面的摩擦系数为 $\mu = 0.2$, 为使梯子不至滑下, 它与地面的最小倾角 θ 应为多大?

解 梯子受4个力: 重力 mg 、墙面支持力 N_A 、地面支持力 N_B 和静摩擦力 f 。合力为零:

$$N_A - f = 0 \quad (x \text{ 轴方向})$$

$$N_B - mg = 0 \quad (y \text{ 轴方向})$$

对过B点垂直于xy平面的轴, 要求力矩矢量和等于零:

$$\frac{L}{2} mg \cos \theta - L N_A \sin \theta = 0$$

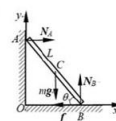
梯子相对地面不滑动, 要求

$$f \leq \mu N_B$$

由以上四式, 可得

$$\theta \geq \arctan \left(\frac{1}{2\mu} \right) = \arctan \left(\frac{1}{2 \times 0.2} \right) = 68^\circ$$

“梯子使用安全规范”规定, 梯子与地面的夹角以 $60^\circ \sim 70^\circ$ 为宜。



76

§ 5.6 定轴转动的功能原理

刚体定轴转动的角动量定理

$$M_z = \frac{d(J_z \omega)}{dt}$$

力矩对时间的积累效应

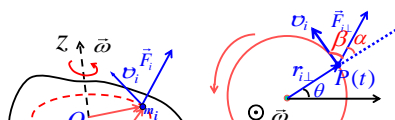
$$\int_{t_1}^{t_2} M_{\text{外}z} dt = J_z \omega_2 - J_z \omega_1$$

力矩的空间积累效应-力矩的功

77

一. 力矩的功

$$\begin{aligned} dW_i &= \vec{F}_i \cdot d\vec{r}_i = \vec{F}_{i\perp} \cdot d\vec{r}_i \\ &= \vec{F}_{i\perp} \cdot \vec{v}_i dt = F_{i\perp} v_i \cos \beta dt = F_{i\perp} r_{i\perp} \omega \sin \alpha dt \\ &= (F_{i\perp} r_{i\perp} \sin \alpha) \omega dt = M_{Ri} d\theta \\ dW &= \sum_i dW_i = \sum_i M_{Ri} d\theta = M_z d\theta \\ W &= \int_{\theta_1}^{\theta_2} dW = \int_{\theta_1}^{\theta_2} M_z d\theta \end{aligned}$$



78

直接用矢量推导

$$\begin{aligned} dW_i &= \vec{F}_i \cdot d\vec{r}_i = \vec{F}_i \cdot \vec{v}_i dt \\ &= \vec{F}_i \cdot (\vec{\omega} \times \vec{r}_i) dt \\ &= (\vec{\omega} \times \vec{r}_i) \cdot \vec{F}_i dt \\ &= \vec{\omega} \cdot (\vec{r}_i \times \vec{F}_i) dt = \vec{\omega} \cdot \vec{M}_i dt = \vec{k} \cdot \vec{M}_i \omega dt \\ &= M_{iz} \omega dt = M_{iz} d\theta \end{aligned}$$

力矩的功

$$W = \int_{\theta_1}^{\theta_2} dW = \int_{\theta_1}^{\theta_2} M_z d\theta$$

力矩的空间积累效应

79

二、定轴转动动能定理

回顾：质点系动能定理

$$W_{ext} + W_{int} = E_{k2} - E_{k1}$$

对刚体 $W_{int} = 0$

$$W_{ext} = E_{k2} - E_{k1}$$

80

$$\begin{aligned} W &= \int_{\theta_1}^{\theta_2} M d\theta = \int_{\theta_1}^{\theta_2} J \alpha d\theta \\ &= \int_{\theta_1}^{\theta_2} J \frac{d\omega}{dt} d\theta = \int_{\omega_1}^{\omega_2} J \omega d\omega \\ &= \frac{1}{2} J \omega_2^2 - \frac{1}{2} J \omega_1^2 \end{aligned}$$

$$\begin{aligned} M &= J \alpha \\ \alpha &= \frac{d\omega}{dt} \\ \omega &= \frac{d\theta}{dt} \end{aligned}$$

$$E_k = \frac{1}{2} J \omega^2$$

定轴转动动能

$$W = \frac{1}{2} J \omega_2^2 - \frac{1}{2} J \omega_1^2$$

刚体定轴转动动能定理

81

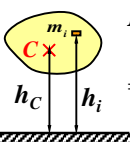
$$\begin{aligned} \frac{1}{2} J \omega^2 &\neq \sum \frac{1}{2} m_i v_i^2 \\ E_k &= \sum \frac{1}{2} m_i v_i^2 = \sum \frac{1}{2} m_i r_{i\perp}^2 \omega^2 \\ &= \frac{1}{2} \omega^2 \sum m_i r_{i\perp}^2 = \frac{1}{2} J \omega^2 \\ (\omega \uparrow \rightarrow E_k \uparrow \uparrow) &\quad (\text{飞轮储能}) \end{aligned}$$

82

三、刚体的重力势能

重力场中的刚体

刚体+地球



$$\begin{aligned} E_p &= \sum m_i g h_i \\ &= mg \frac{\sum m_i h_i}{m} \\ &= mgh_c \end{aligned}$$

刚体上各点重力加速度的变化忽略

所有质量集中于质心时的势能

83

四、刚体的机械能守恒

刚体和地球系统，只有重力做功

刚体的机械能守恒

$$E_p + E_k = \text{const.}$$

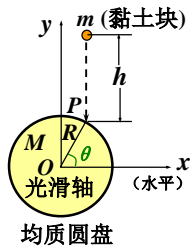
84

表 2-1 质点运动与刚体定轴转动对照表

质点运动	刚体定轴转动
速度 $v = \frac{dr}{dt}$	角速度 $\omega = \frac{d\theta}{dt}$
加速度 $a = \frac{dv}{dt}$	角加速度 $\beta = \frac{d\omega}{dt}$
力 F	力矩 M
质量 m	转动惯量 $J = \int r^2 dm$
动量 $p = mv$	角动量 $L = J\omega$
牛顿第二定律 $F = ma$ $F = \frac{dp}{dt}$	转动定律 $M = J\beta$ $M = \frac{dL}{dt}$
动量定律 $Fdt = mv - mv_0$	角动量定律 $Mdt = J\omega - J\omega_0$
动量守恒定律 $F = 0, mv = \text{恒矢量}$	角动量守恒定律 $M = 0, J\omega = \text{恒量}$
动能 $\frac{1}{2}mv^2$	转动动能 $\frac{1}{2}J\omega^2$
功 $W = \int F \cdot dr$	力矩的功 $W = \int M d\theta$
动能定理 $W = \frac{1}{2}mv^2 - \frac{1}{2}mv_0^2$	转动动能定理 $W = \frac{1}{2}J\omega^2 - \frac{1}{2}J\omega_0^2$

轮子力图继续转动这一事实证明存在与转动运动相联系的动量——角动量

[例1] 如图示, 已知: $h, R, M=2m, \theta=60^\circ$
求: 碰撞后的瞬时盘 $\omega_0 = ?$
 P 转到 x 轴时盘 $\omega = ?, \alpha = ?$



解: m 下落:

$$mgh = \frac{1}{2}mv^2$$

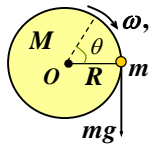
$$v = \sqrt{2gh} \quad (1)$$

对 $(m + \text{盘})$, 碰撞中重力对 O 轴力矩可忽略, 系统角动量守恒: $m v R \cos \theta = J \omega_0 \quad (2)$

86

$$(m + \text{盘}) \text{ 转动惯量 } J = \frac{1}{2}MR^2 + mR^2 = 2mR^2 \quad (3)$$

$$\text{由(1)(2)(3)得: } \omega_0 = \frac{\sqrt{2gh}}{2R} \cos \theta \quad (4)$$



对 $(m + M + \text{地球})$ 系统, 只有重力作功, E 守恒。
令 P, x 重合时 $E_P = 0$, 则:

$$mgR \sin \theta + \frac{1}{2}J\omega_0^2 = \frac{1}{2}J\omega^2 \quad (5)$$

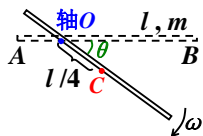
$$\text{由(3)(4)(5)得: } \omega = \sqrt{\frac{gh}{2R^2} \cos^2 \theta + \frac{g}{R} \sin \theta} = \frac{1}{2R} \sqrt{g(h + 4\sqrt{3}R)}$$

$(\theta = 60^\circ)$

$$\alpha = \frac{M_{\text{水平位置对轴的力矩}}}{J} = \frac{mgR}{2mR^2} = \frac{g}{2R}$$

87

[例2] 已知: 如图示均匀直杆质量为 m , 长为 l , 初始水平静止。轴光滑, $AO = l/4$ 。



求: 杆下摆到 θ 角时, 角速度 $\omega = ?$
轴对杆作用力 $\vec{N} = ?$

解: $(\text{杆} + \text{地球})$ 系统, 只有重力作功, E 守恒。

$$\frac{1}{2}J_O \omega^2 - mg \frac{l}{4} \sin \theta = 0 \quad (1)$$

$$J_O = \frac{1}{12}ml^2 + m\left(\frac{l}{4}\right)^2 = \frac{7}{48}ml^2 \quad (2)$$

$$(1)、(2) \text{ 解得: } \omega = 2\sqrt{\frac{6g \sin \theta}{7l}}$$

88

应用质心运动

定理求轴力:

$$\vec{N} + m\vec{g} = m\vec{a}_C$$

$$\vec{i}: -mg \sin \theta + N_t = ma_{Cl} \quad (3)$$

$$\vec{i}: mg \cos \theta + N_t = ma_{Cl} \quad (4)$$

$$a_{Cl} = \frac{l}{4}\omega^2 = \frac{6}{7}g \sin \theta \quad (5)$$

$$a_{Cl} = \frac{l}{4}\alpha = \frac{l}{4} \cdot \frac{\frac{1}{4}mg \cos \theta}{J_O} = \frac{3g \cos \theta}{7} \quad (6)$$

89

由(3)(4)(5)(6)解得:

$$N_t = \frac{13}{7}mg \sin \theta,$$

$$N_t = -\frac{4}{7}mg \cos \theta$$

$$\vec{N} = \frac{13}{7}mg \sin \theta \cdot \vec{e}_t - \frac{4}{7}mg \cos \theta \cdot \vec{e}_i$$

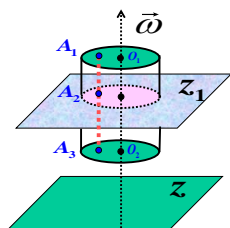
$$N = \frac{mg}{7} \cdot \sqrt{153 \sin^2 \theta + 16}$$

$$\beta = \text{tg}^{-1} \frac{|N_t|}{N_t} = \text{tg}^{-1} \left(\frac{4}{13} \text{ctg} \theta \right)$$

90

§ 5.7 刚体的平面运动

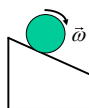
一、定义



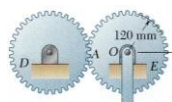
刚体上每一点都在与固定平面 Z 平行的平面内运动。

刚体内垂直于固定平面的直线上的各点，运动状况都相同

91



斜面上圆柱体的直线滚动



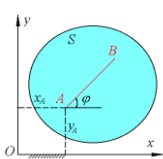
齿轮的运动

刚体平面运动

平面运动 $\begin{cases} \text{随质心的平动} \\ \text{绕过质心的轴的转动} \end{cases}$

92

二、刚体平面运动运动学



平面图形内任意一条线段的位置

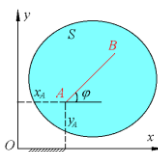
确定运动平面内刚体各点的位置

确定平面运动刚体位置

确定惯性系，建立直角坐标系 $oxyz$

oxy 在平面内， z 轴垂直于平面

93



平面运动方程

$$x_A = f_1(t)$$

$$y_A = f_2(t)$$

$$\varphi = f_3(t)$$

(x_A, y_A) 不变 \longrightarrow 刚体的定轴转动

φ 不变 \longrightarrow 刚体的平动

刚体的平面运动 \longrightarrow 平动+转动

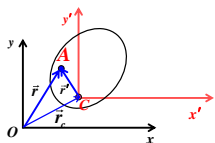
平动基点往往选择在质心

94

平动基点往往选择在质心

刚体的平面运动=

随质心的平动+绕质心的定轴转动



$$\vec{r} = \vec{r}_c + \vec{r}'$$

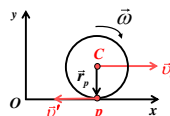
$$\vec{v} = \vec{v}_c + \vec{v}'$$

$$= \vec{v}_c + \vec{\omega} \times \vec{r}'$$

$$\vec{a} = \vec{a}_c + \vec{a}'$$

95

纯滚动条件



$$\vec{v}_p = \vec{v}_c + \vec{v}'$$

$$\vec{v}_p = \vec{v}_c + \vec{\omega} \times \vec{r}_p$$

如果 $\vec{v}_p = 0$ 纯滚动

96

三、刚体平面运动动力学

平动部分

$$\vec{F} = \sum \vec{F}_i = (\sum m_i) \vec{a}_c = m \vec{a}_c$$

转动部分

$$M_{cz} = \frac{dL_{cz}}{dt} = J_{cz} \beta$$

常运用机械能守恒条件、纯滚动条件等

$$\text{柯尼希定理} \quad E_k = \frac{1}{2} m v_c^2 + \frac{1}{2} J_{cz} \omega^2$$

97

例1 如图, 已知 m_1, m_2, R , 桌面水平光滑, 滑轮质量不计
求: 圆盘角加速度

解: 对 m_1 , 由牛II $m_1 g - T = m_1 a$

对 m_2 , 由质心运动方程 $T = m_2 a_c$

相对质心的转动方程 $TR = (\frac{1}{2} m_2 R^2) \alpha$

$$\text{运动学关系: } a = R\alpha + a_c \quad \alpha = \frac{2m_1}{3m_1 + m_2} \frac{g}{R}$$

98

例2 匀质球由静止沿斜面无滑动滚动 (纯滚动)
求质心下降 h 时的 v_c 及斜面的 f_r

解: 无滑动, f_r 不作功

球(+地) E 守恒

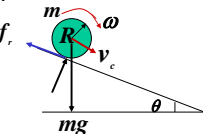
$$mgh = \frac{1}{2} m v_c^2 + \frac{1}{2} (\frac{2}{5} m R^2) \omega^2$$

无滑动: $v_c = \omega R$

$$\Rightarrow v_c = \sqrt{\frac{10gh}{7}} < \sqrt{2gh}$$

由质心系中动能定理:

$$M\theta' = f_r R \theta' = f_r \frac{h}{\sin \theta} = \frac{1}{2} (\frac{2}{5} m R^2) \omega^2$$



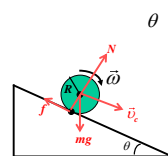
静摩擦力的作用:
把部分能量变成
转动动能

代入 ω 得:

$$f_r = \frac{2}{7} mg \sin \theta$$

99

【例3】 均匀圆柱体从粗糙斜面上由静止无滑下滚



$\theta \quad m \quad R \quad J_c \quad f \quad N$

$$mg \sin \theta - f = m a_c$$

$$Rf = J_c \beta$$

$$v_c = R\omega \rightarrow a_c = R\beta$$

$$a_c = \frac{R^2 mg \sin \theta}{J_c + mR^2}$$

m, R, θ 同, $J_c \uparrow, a_c \downarrow$

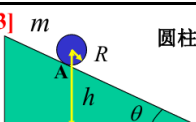
导轨滚柱演示

m, J_c, θ 同, $R \uparrow, a_c \uparrow$

导轨滚球演示

100

[补充例3]



圆柱

摩擦力大, 纯滚动

求: 速度和加速度

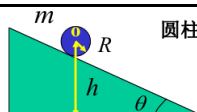
解: 1. 以A点为参考点

$$mgR \sin \theta = J_A \alpha$$

$$a_c = R\alpha = \frac{g \sin \theta}{J_A / (mR^2)} = \frac{2}{3} g \sin \theta$$

$$v_c = v_0 + a_c t = \sqrt{\frac{2a_c h}{\sin \theta}} = 2\sqrt{\frac{gh}{3}}$$

101



圆柱

质心系

解: 2. 质心运动

$$mg \sin \theta - f_r = m a_c$$

$$f_r R = J_o \alpha \quad a_c = R\alpha$$

$$a_c = \frac{g \sin \theta}{1 + \frac{J_o}{mR^2}} = \frac{2}{3} g \sin \theta$$

解: 3. 机械能守恒

$$mgh = \frac{1}{2} m v_c^2 + \frac{1}{2} J_o \omega^2$$

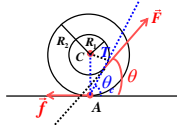
$$v_c = R\omega$$

$$v_c = 2\sqrt{\frac{gh}{3}}$$

$$a_c = \dot{v}_c = \frac{2}{3} g \sin \theta$$

102

【例4】分析一水平桌面上作纯滚动线轴的运动



只考虑水平方向
重力和支持力没有考虑
 $f < \mu N$

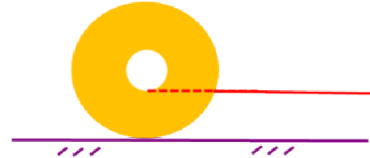
$$\begin{aligned} F \cos \theta - f &= ma_c \\ R_2 f - R_1 F &= J_c \beta \\ a_c &= R_2 \beta \\ a_c &= \frac{R_2 (R_2 \cos \theta - R_1) F}{J_c + m R_2^2} \\ R_2 \cos \theta - R_1 > 0, a_c > 0 \\ R_2 \cos \theta - R_1 < 0, a_c < 0 \\ R_2 \cos \theta - R_1 = 0, a_c = 0 \end{aligned}$$

柱状刚体平面运动演示

103

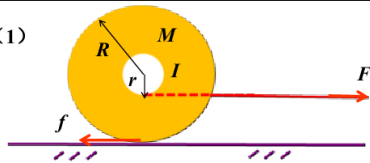
[补充例4] 在粗糙的水平面上放置一轮子，绳子绕在中轴（与轮子一体）上，如图所示（对着纸面看，绳子是逆时针方向绕在中轴上）。由于绳子绕在轮子的中轴上，拉绳子就会带动轮子滚动。问：

- (1) 小心地向前慢慢拉绳子，使轮子不打滑，轮子是向前还是向后滚动？
(2) 向前用力快拉绳子，轮子是向前还是向后移动？



104

解 (1)

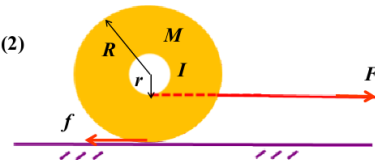


$$\begin{aligned} \text{质心运动方程} \quad F - f &= Ma \\ \text{绕质心转动定律} \quad Fr - fR &= -I\alpha \\ \text{无滑动} \quad a &= R\alpha \\ \text{解得} \quad \alpha &= \frac{F(R-r)}{MR^2 + I} \end{aligned}$$

轮子向前滚动

105

解 (2)



$$\begin{aligned} \text{质心运动方程} \quad F - f &= Ma \\ a &> 0 \quad \text{轮子向前} \end{aligned}$$

$$\begin{aligned} \text{绕质心转动定律} \quad Fr - fR &= -I\alpha \\ \alpha &< 0 \quad \text{轮子向后转动，打滑} \end{aligned}$$

106

结果讨论：静摩擦力在能量转换中的作用

把刚体边缘与斜面接触点的位移分解为：
随质心的平动 + 绕质心的转动

等值，反向

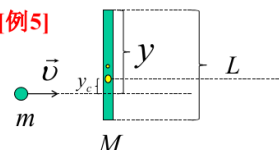
摩擦力对此作负功

摩擦力对此作正功

二者之和为零，摩擦力使减少的势能不是全部转换为平动动能，而是部分地转换为转动动能。

107

[例5]



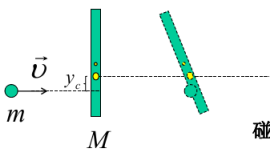
平面上
完全非弹性碰撞，求：
碰后细杆儿的角速度

解：碰撞点为原点，
碰撞瞬间系统质心

$$x_c = 0 \quad y_c = \frac{M}{m+M} \left(y - \frac{L}{2} \right)$$

$$\text{质心速度} \quad V_c = \frac{mv}{m+M}$$

108



角动量守恒
绕原点

碰撞前、后瞬间角动量为零

$$\vec{L} = \vec{L}' + \vec{r}_c \times \vec{P}_c$$

$$-J_c \omega + (m + M)V_c y_c = 0 \quad \omega = \frac{(m + M)V_c y_c}{J_c}$$

$$J_c = m y_c^2 + M(y - \frac{L}{2} - y_c)^2 + \frac{1}{12} M L^2$$

109

[例6] 悬挂杆 完全非弹性碰撞, 碰撞时间 Δt
求: 1) 碰撞瞬间转轴受平均力 2) 杆摆最大角

解: 1) 在质心系 $\vec{M}' = \dot{\vec{L}}'$ $\vec{M}' \Delta t = \Delta \vec{L}'$

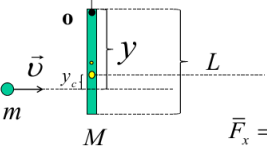
$$\bar{F}_x (y - y_c) \Delta t = -J_c \omega - (-m y_c v)$$

$$y_c = \frac{M}{m + M} (y - \frac{L}{2})$$

绕固定点 o 角动量守恒

$$m v y = J_o \omega$$

110



$$\bar{F}_x = \frac{m v (y_c - \frac{J_c}{J_o} y)}{(y - y_c) \Delta t}$$

$$\bar{F}_x = -\frac{m v}{2 \Delta t} \frac{M L}{m y^2 + \frac{1}{3} M L^2} (y - \frac{2}{3} L)$$

$$F_y = (M \frac{L}{2} + m y) \omega^2 + (m + M) g \quad \bar{F}_y = ?$$

2) 杆摆最大角

$$M g \rightarrow (M \frac{L}{2} + m y) \omega^2 + (m + M) g$$

$$\frac{1}{2} J_o \omega^2 = (M + m) g (y - y_c) (1 - \cos \theta)$$

111

例7: 已知: 光滑水平面上匀质细杆 l, M , 小球的 m, v_0 (\perp 杆身), 弹性碰撞, $M = 3m$
求: 碰后杆的角速度 (列方程)

解: 对杆+球系统, 无外力 \rightarrow 动量守恒

$$m v + M v_c = m v_0$$

设运动方向如图

$$M = 3m \quad v_0 - v = 3 v_c \quad \textcircled{1}$$

对任一定点角动量守恒, 选碰撞重合点:

$$\frac{l}{2} M v_c - \frac{M l^2}{12} \omega + 0 = 0 \quad \rightarrow \omega l = 6 v_c \quad \textcircled{2}$$

112

弹性碰撞, 动能不变

$$\frac{1}{2} m v^2 + \frac{1}{2} \frac{M l^2}{12} \omega^2 + \frac{1}{2} M v_c^2 = \frac{1}{2} m v_0^2$$

$$v_0^2 - v^2 = \frac{1}{4} \omega^2 l^2 + 3 v_c^2 \quad \textcircled{3}$$

三式联立解得 $\omega = \frac{12 v_0}{7 l}$

($v_c = \frac{2}{7} v_0$; $v = \frac{1}{7} v_0$) 结果为正, 表明所设方向正确。

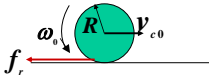
讨论: 如果选择与杆中心重合的定点, L 守恒如何写?

113

例8: 现象: 在台面上合适地搓动乒乓球, 乒乓球在桌面上前进一段距离后将会自动返回?

1) 试对此现象作定性解释;
2) 设乒乓球可看成匀质刚性球壳, 导出能产生上述现象, 其初始条件应满足的关系。

定性分析:



若初始运动方向如图, 则摩擦力方向一定向后。

114

摩擦力的作用：

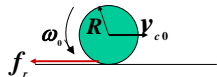
对质心的运动 $\rightarrow v_c \downarrow$

对绕质心的转动 $\rightarrow \omega \downarrow$

当 $v_c = 0$, 而 $\omega \neq 0$ 时, 乒乓球返回!

结论: 1) 转动方向和平动方向不可随意;

2) ω_0, v_{c0} 的大小应满足一定关系。



115

定量计算：

质心运动方程 $-f_r = m \frac{dv_c}{dt} \quad (1)$

转动方程 (对质心) $-Rf_r = (\frac{2}{3}mR^2) \frac{d\omega}{dt} \quad (2)$

由(1)、(2)式消去 dt, f_r 得：

$$d\omega = \frac{3}{2R} dv_c$$

两边积分得：

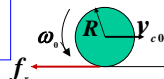
$$\omega = \omega_0 - \frac{3}{2} \frac{v_{c0} - v_c}{R}$$

116

令 $v_c = 0; \omega > 0 \rightarrow$

$$\omega_0 > \frac{3v_{c0}}{2R}$$

当初始速度和角速度大小满足上述不等式时, 乒乓球可返回。



小球返回是怎么运动的? 摩擦力会一直给小球加速吗?

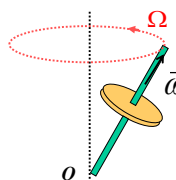
若 ω 比 v_c 先为0, 乒乓球如何运动?

关于乒乓球滚动问题的讨论
顾霖 (清华大学无31班)
物理与工程 Vol.14, No.4 (2004), 58-59.

117

§ 5.8 进动 (旋进 precession)

进动实验演示



进动

高速旋转的物体, 其自转轴绕另一个轴转动的现象。

118

质量分布轴对称刚体

➢ 质量不对称情况 $m_2 > m_1$

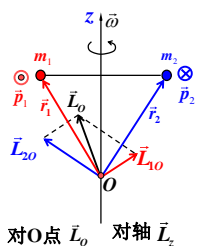
$$v_2 = v_1 \quad p_2 > p_1$$

$$L_{20} > L_{10}$$

$$\vec{L}_0 \text{ 不平行于 } \vec{L}_z$$

➢ 质量对称情况 $m_2 = m_1$

$$\vec{L}_0 = \vec{L}_z = J_z \vec{\omega} = J \vec{\omega}$$



对O点 \vec{L}_0 对轴 \vec{L}_z

119

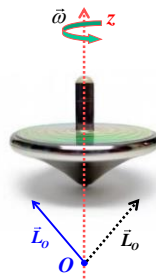
任何质量分布轴对称刚体

➢ 质量轴对称情况

旋转轴为对称轴

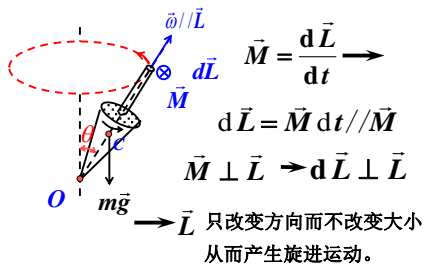
根据对称性原理

$$\vec{L}_0 = \vec{L}_z = J_z \vec{\omega} = J \vec{\omega}$$

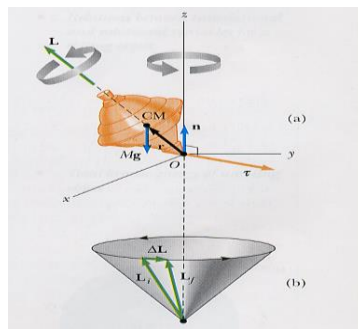


120

玩具陀螺的旋进

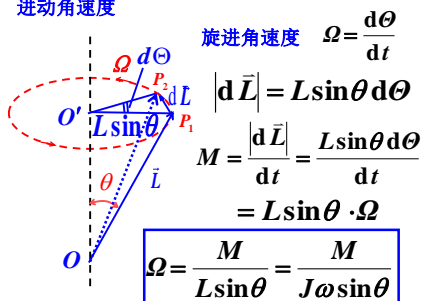


121



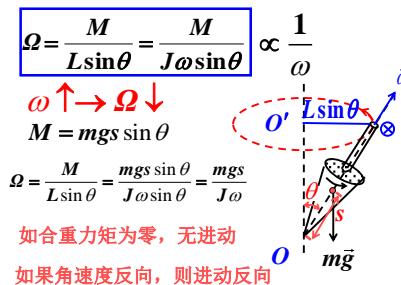
122

进动角速度



123

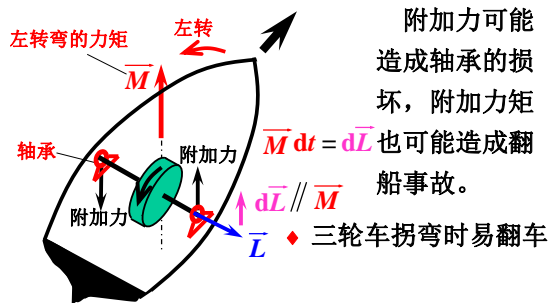
简单讨论



124

▲ 回转效应产生附加力矩:

- ◆ 轮船转弯时, 涡轮机轴承要承受附加力。



125

车轮进动实验演示



$\omega \uparrow \rightarrow \Omega \downarrow$

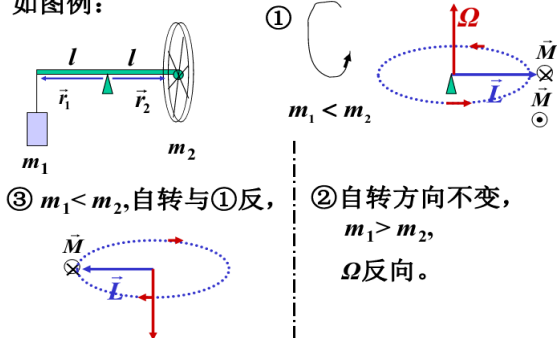
如合重力矩为零, 无进动
 如果角速度反向, 则进动反向

TV 旋进防止炮弹翻转 [炮弹.mpg](#)

126

关于旋进方向: $\vec{M} = \vec{\Omega} \times \vec{L}(J\vec{\omega})$

如图例:



127

特征: 不屈从于外力矩, 保持对称轴的稳定。

应用: 炮弹出口时的旋转以维持飞行的稳定

*说明: 讨论有近似!

$\therefore \vec{\omega}_{\text{总}} = \vec{\omega} + \vec{\Omega}$ 只有 $\Omega \ll \omega$ 才有 $\vec{L} = J\vec{\omega}$

$\vec{\Omega}$ 的影响: 自转轴在旋进中出现微小的上下的周期性摆动——章动 (nutation)。

128

章动 (nutation)

自转轴在旋进中出现的微小的上下的周期性摆动

为什么向下摆动?

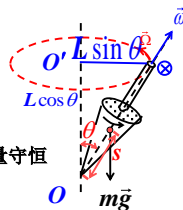
角动量守恒

为什么周期性摆动?

当旋进发生后, 总角速度 $\vec{\omega}_{\text{total}} = \vec{\omega} + \vec{\Omega}$

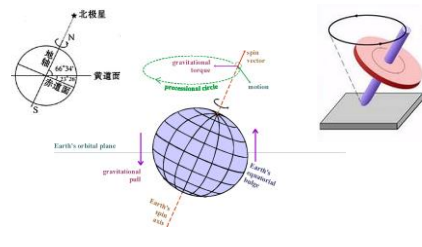
只有刚体高速自转时, 才有 $\vec{\omega}_{\text{total}} \approx \vec{\omega}$

当考虑到 $\vec{\Omega}$ 对 $\vec{\omega}_{\text{total}}$ 的贡献时, 章动

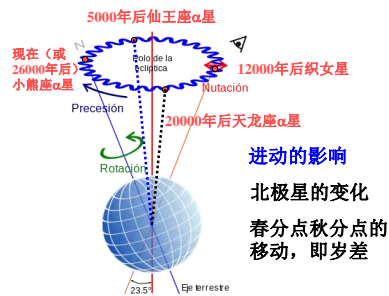


129

地球的章动和旋进



130



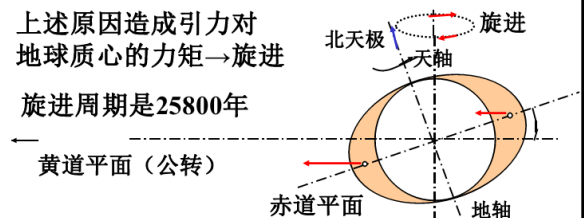
131

地球旋进的成因:

- 1) 地球的非球形 (赤道半径较大);
- 2) 地球自转平面与公转平面不重合。

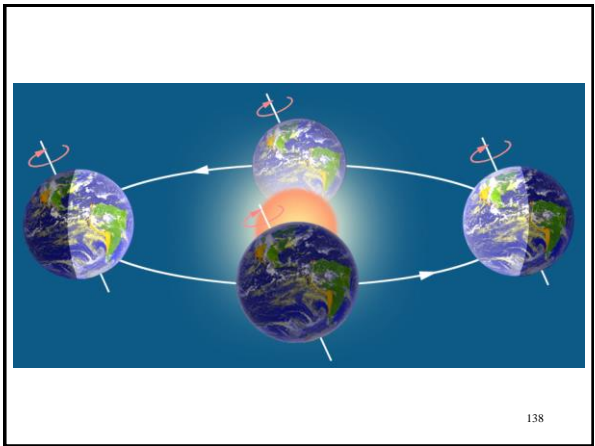
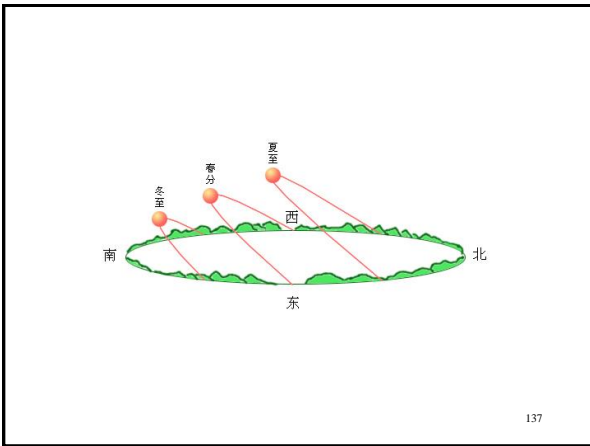
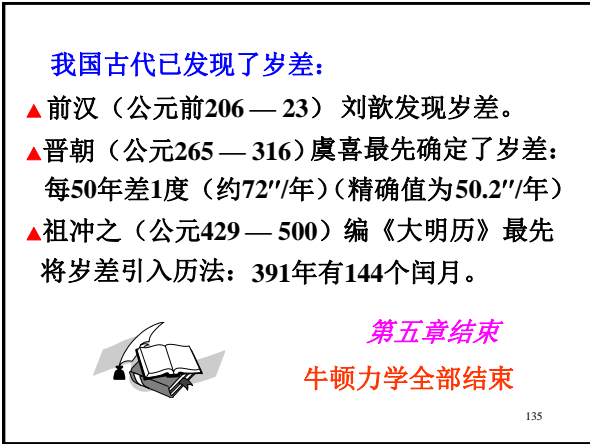
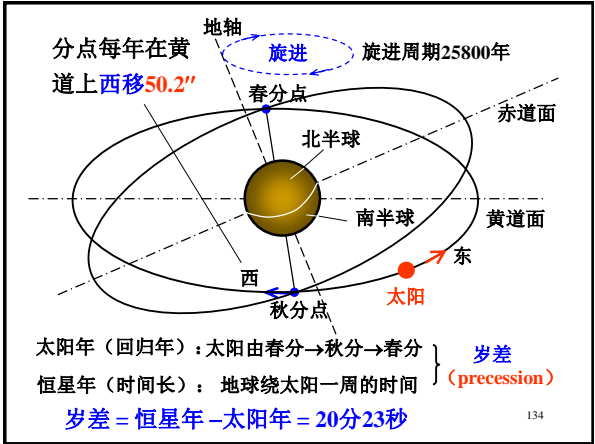
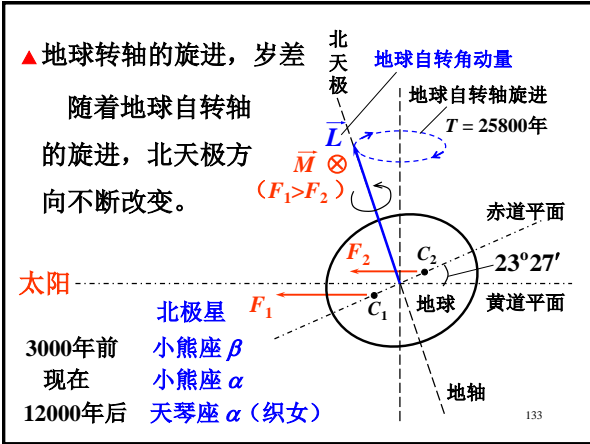
上述原因造成引力对地球质心的力矩→旋进

旋进周期是25800年



旋进结果: 赤道平面在太空的方位发生改变。

132



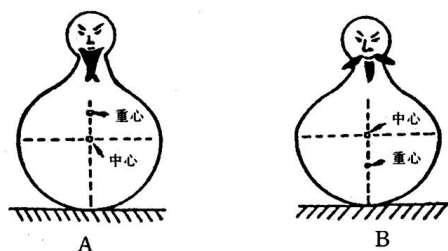
中国古代玩具与物理学

不倒翁

隋唐时期，或许由于饮酒之风盛行，人们制作了一种劝人喝酒的玩具、经匠心雕刻的木头人，称为「酒胡子」，将它置于瓷盘之中，「俯仰旋转」、「缓急由人」。「酒胡子」也有纸制作的：「糊纸作醉汉状，虚其中而实其底，虽按捺而旋转不倒也。」，现在称这些玩具为不倒翁。另一种劝酒器，虽称不倒翁，但转动摇摆后最终会倒下，并且指向某人或倒向某人，某人当饮酒。

139

两种不倒翁



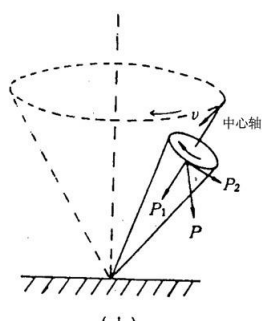
141

陀螺

儿童们对玩陀螺极感兴趣，当用鞭绳抽打陀螺时，陀螺在地面上的运动令人乐趣无穷。它既在某一锥面上作回转运动，称为**进动**，又绕着自己的中心轴作自转运动；同时，在进动运动的附近作极小幅度的抖动，称为**章动**。如果抽打得法，陀螺快速运动之后，就斜立在地面上而不会倒下，每次回转的途径实际上也不相同。

142

陀螺的运动



143



波尔和泡利观察翻身陀螺

两位物理学大师波尔(Bohr, N.)和泡利(Pauli, W.)弯着腰被地上滚动的小陀螺吸引住了，他们全神贯注地观察这个旋转中的带短柄小球体突然翻身，短柄触地继续旋转的奇特现象。这张照片摄于1954年的5月，地点是瑞典Lund大学的物理研究所。照片中的这个称作Tip-top的小玩具曾引起物理学界的巨大兴趣。

144



翻身陀螺与摩擦力效应

将一个熟鸡蛋平放在桌面上，让它快速旋转，它会突然跃起绕尖头直立旋转。于是鸡蛋就以旋转的运动状态实现了哥伦布的要求。

翻身陀螺两端的外形为不同半径的大小球面，陀螺的重心与两个球面的球心均不重合。当陀螺的短柄朝上，大球面与地面接触时，重心在球心的下方，陀螺保持静态稳定。当陀螺翻身为短柄向下，柄端的小球面与地面接触时，重心高于球心，静态不稳定。观察旋转中的陀螺，若重心低于球心，则低转速时稳定，高转速时不稳定。重心高于球心时则相反，低转速时不稳定，高转速时稳定。因此当转速达到某个临界值时，即出现翻身现象。翻身后陀螺的质心上升，势能突然增大。鉴于拉格朗日刚体并未考虑摩擦力因素，Tip-top 陀螺的翻身现象很可能是摩擦力作用的结果。这个结论很容易被实验证实，因为将陀螺放在充分润滑的地面上，翻身现象就很难出现。

145



哥伦布竖鸡蛋

1492 年哥伦布发现了美洲新大陆。有些人不服气，说任何人乘船航行都能到达大洋彼岸。哥伦布拿了几个熟鸡蛋，请大家将鸡蛋竖立在桌上。没人能试成功。哥伦布将蛋壳的一端敲了个小洞就站住了。众人说这太容易了。哥伦布说，既然容易为何你们不去做呢。

开尔文的“哥伦布蛋”问题

英国力学大师开尔文爵士 (Lord Kelvin) 于 1877 年提出过一个问题：“为何熟鸡蛋能在平面上直立旋转，而生鸡蛋不能呢？”开尔文问题涉及的鸡蛋能直立旋转的现象也称作“哥伦布蛋” (Columbus egg)。一个煮熟的鸡蛋可以看成是一个具有旋转椭球形状的刚体。将一个熟鸡蛋平放在桌面上，让它快速旋转，它会突然跃起绕尖头直立旋转。于是鸡蛋就以旋转的运动状态实现了哥伦布的要求。

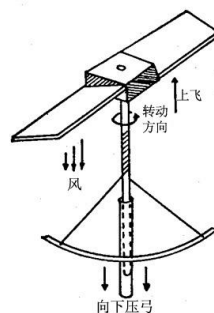
146

竹蜻蜓

东晋的学者葛洪发明的「飞车」后来称为「竹蜻蜓」，它是直升旋翼和飞机螺旋桨的始祖。它的主要部件是一个加工成斜面或弯曲面的薄竹片。薄竹片类似向下吹风的风扇叶。竹片中央樁接一根直立轴，将绳带以类似木工用的弓钻方式绞扭在立轴上，拉动绳带，竹片急速旋转。旋转着的竹片借其弯曲面造成的气流而急速上升。葛洪的「飞车」后来成为儿童喜好的玩具。它传到欧洲后，被称为「中国陀螺」，并引起了早期航空实验家们的极大注意。他们纷纷仿造竹蜻蜓，并由此引发了直升机旋翼和螺旋桨的设计构想。

147

竹蜻蜓结构示意图



148

银熏球

银熏球是由西汉时的「被中香炉」发展而成的，它的原理与近代回转器相似。古人有焚香除臭、熏烟灭虫的习惯。将香草置于熏炉内燃烧，熏炉置于被褥内，晚寝时便有清香之快感。据史载，这种习惯始于西周时期。使用香熏炉须格外小心，否则将引起火灾。西汉时，长安巧工丁缓发明「被中香炉」，不单解除了可能引致火灾的危险，而且也是科学史上一大创造。

149

银熏球



150